

Modello climatico globale della Terra

①

È il modello più semplice possibile per descrivere il clima medio osservato sulla Terra non solo attualmente ma anche su scale "paleoclimatiche".

L'ipotesi fondamentale è che il clima osservato (ora o nel passato) sia una soluzione stazionaria STABILE di un'equazione di bilancio energetico in cui la funzione incognita è la Temperatura media annua del pianeta.

Sia $R_i(T)$ il flusso di calore "entrante" dovuto all'irraggiamento solare e $R_o(T)$ il flusso "uscite", principalmente dovuto al decadimento radioattivo di alcuni isotopi (Torio 232, Uranio 238 e 235, Potassio 40)

Eq. di bilancio energetico globale

$$(1) \quad c \frac{dT}{dt} = \underbrace{Q_0(1-\alpha(T))}_{R_i \left\{ \begin{array}{l} \text{radiazione} \\ \text{in arrivo} \\ \text{al suolo} \end{array} \right\}} - \underbrace{\epsilon g(T) T^4}_{R_o \left\{ \begin{array}{l} \text{radiazione} \\ \text{in uscite} \\ \text{al suolo} \end{array} \right\}} \equiv E(T)$$

T = temperatura annua media del sistema

Terra - Atmosfera - Oceani (TAO)

Q_0 = costante solare (flusso medio globale di energia solare)

$\alpha(T) = \text{albedo planetario (o potere riflettente)} \in [0,1]$ ②

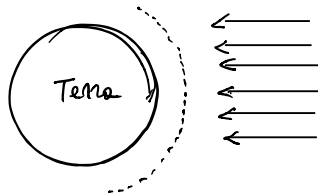
$\sigma = \text{costante di Stefan - Boltzmann } (\approx 5.67 \times 10^{-8} \frac{W}{m^2 K^4})$

$g(T) = \text{"grayness" del sistema TAO, cioè la sua deviazione dalla radiazione di corpo nero rappresentata dal termine } \sigma T^4 \text{ (legge di Stefan - Boltzmann)}$

$C = \text{capacità termica specifica dell'atmosfera} = \rho_a c_p d$
($d \approx 10^4 m$ spessore atmosfera)

INTERPRETAZIONE FISICA

RADIAZIONE "IN ARRIVO" AL SUOLO : $C_0 \approx 1378 \frac{W}{m^2}$ rappresenta il flusso di energia alla sommità dell'Atmosfera Terrestre



La radiazione non è costante durante l'anno (le distanze Terra-Sole non è costante)

C_0 è un valore medio annuo che va mediato su tutta la superficie terrestre $4\pi R_T^2$, $R_T \approx 6400 km$ (raggio terrestre)

La Terra espone alla radiazione una sezione di area $\approx \pi R_T^2$. Quindi il flusso riferito alla superficie Terrestre è

$$Q_0 = C_0 \frac{\pi R_T^2}{4\pi R_T^2} = C_0/4 \approx 342 \frac{W}{m^2}$$

③

Questo flusso non raggiunge la superficie Terrestre al 100%
C'è una parte assorbita dall'Atmosfera ($\approx 22\%$), una
parte viene riflessa nello spazio esterno ($\approx 33\%$). Solo il
45% raggiunge la superficie e riscalda le tre componenti
del sistema Terra-Oceano.

Il fattore $1 - \alpha(T)$ rappresenta proprio la riduzione
al valore di Q_0 dovuto ad una molteplicità di fattori:

Per nevi e ghiacciai $\alpha(T)$ ha un valore fra 0.8 e
0.9

Problema: come scegliere la funzione $\alpha(T)$? La
strategia più semplice è il cosiddetto

ice-albedo feedback

Fissiamo due valori di riferimento $T_c < T_e$ dove
 $T_c \approx 265\text{ K}$ e $T_e \approx 285\text{ K}$. Trattandosi di due
temperature medie globali per definizione

$T_c \Leftrightarrow$ Terre completamente coperte di ghiaccio

$T_e \Leftrightarrow$ Terre completamente libere dal ghiaccio

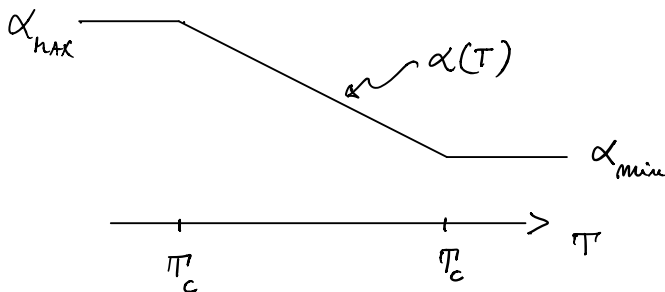
Sia assume poi

$$\alpha(T) = \alpha_{\max} \text{ per } T < T_c \quad \text{e} \quad \alpha(T) = \alpha_{\min} \text{ per } T > T_e$$

e infine $\alpha(T)$ decescente per $T_c < T < T_e$ ④

Scelte più comuni

$$\alpha(T) = \begin{cases} \alpha_{\max} & , \quad T < T_c \\ \alpha_{\max} - \frac{T - T_c}{T_e - T_c} (\alpha_{\max} - \alpha_{\min}) & , \quad T_c < T < T_e \\ \alpha_{\min} & , \quad T > T_e \end{cases}$$



si possono scegliere anche funzioni decrescenti più "smooth" ma il concetto è lo stesso: l'albedo decesce \leftrightarrow aesce

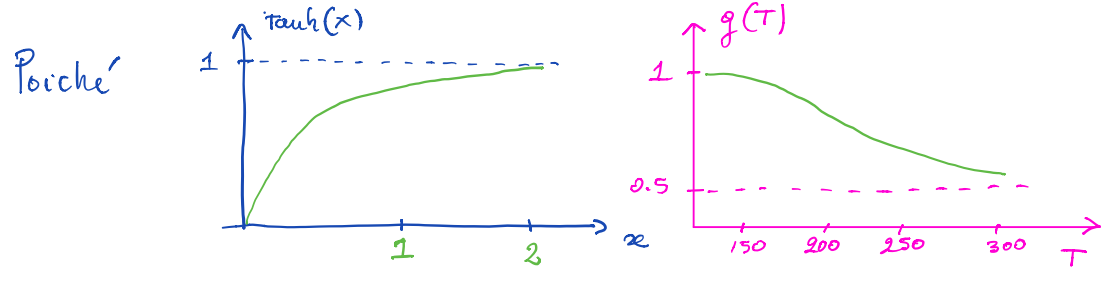
in relazione alle diminuzione \leftrightarrow aumento della copertura glaciale

La dipendenza di g da T espone il cosiddetto "effetto serra", cioè il processo mediante il quale la radiazione emessa R_o è parzialmente assorbita dai gas presenti in atmosfera.

Scegliamo

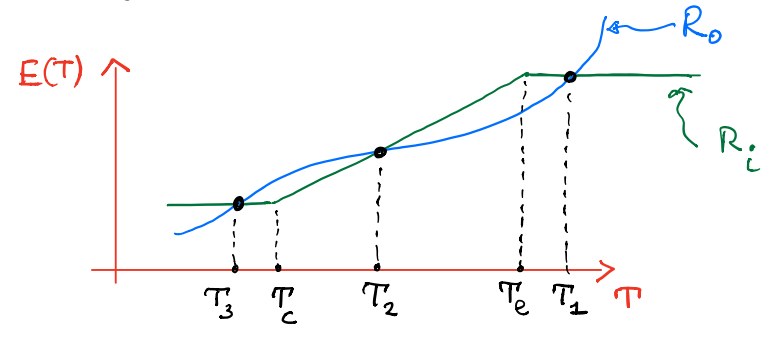
$$g(T) = 1 - m \tanh \left[\left(\frac{T}{T_0} \right)^\alpha \right]$$

dove T_0 è un fattore di scala, $m = 0.5$ (cioè si ha ⁵ una riduzione del 50% del potere dispersivo dell'atmosfera) e α è un opportuno esponente.



per T crescente $g(T)$ decresce da 1 a 0.5; naturalmente i valori estremi corrispondenti rispettivamente a $T=0$ e $T=\infty$ sono punti di significato fisico e l'effettivo comportamento di $g(T)$ dipende dalla scelta dei parametri α e T_0 che si ottengono, ad esempio, con misurazioni della percentuale di CO_2 presente in atmosfera e con misurazioni satellitari della radiazione infrarossa emessa dalla Terra (per i dettagli vedere Sellers J. of Applied Meteorology, vol 8, 1968).

GLI ZERI DELLA FUNZIONE $E(T)$ RAPPRESENTANO I POSSIBILI CLIMI GLOBALI DEL SISTEMA TOA



Il modello mostra che sono possibili TRE CLIMI ⑥
differenti: supponiamo che $T = T_1$ rappresenti il
 clima attuale della Terra. Allora T_2 e T_3 rappresentano
 climi più freddi (eventualmente ne glaciali se $T_3 < T_c$).
 Infatti sia l'esistenza che la posizione di T_3 , T_2 e T_1
 dipende dai valori dei vari parametri, in particolare
 da $\rho(T)$.

La stabilità degli equilibri si può fare molto facilmente
 analizzando il segno di \dot{T} :

T_3 è stabile: per $T < T_3$ si ha $R_o < R_i \Rightarrow \dot{T} > 0$
 mentre per $T > T_3$ si ha $R_o > R_i \Rightarrow \dot{T} < 0$

T_2 è instabile: per $T < T_2$ si ha $R_o > R_i \Rightarrow \dot{T} < 0$
 mentre per $T > T_2$ si ha $R_o < R_i \Rightarrow \dot{T} > 0$

T_1 è stabile: per $T < T_1$ si ha $R_o < R_i \Rightarrow \dot{T} > 0$
 mentre per $T > T_1$ si ha $R_o > R_i \Rightarrow \dot{T} < 0$

È utile anche sviluppare l'analisi lineare: sia $\theta(t)$ una
 perturbazione di un generico equilibrio T_0 . Allora la
 soluzione perturbata verifica l'equazione

(7)

$$c \frac{d}{dt} (T_0 + \theta(t)) = R_i(T_0 + \theta(t)) - R_o(T_0 + \theta(t)) \approx$$

$$\approx \underbrace{R_i(T_0) - R_o(T_0)}_{=0} + \left(\frac{dR_i}{dT} - \frac{dR_o}{dT} \right)_{T=T_0} \theta$$

che si scrive

$$\dot{\theta} \approx \lambda \theta \quad (\text{eq. linearizzata del bilancio termico})$$

$$\text{dove } \lambda = -\frac{1}{c} \left[Q_o \frac{d\alpha}{dT} \Big|_{T=T_0} + \sigma \left(4g(T_0) T_0^3 + T_0^4 \left(\frac{dg}{dT} \right) \Big|_{T=T_0} \right) \right]$$

La soluzione dell'eq. linearizzata è ovviamente

$$\theta(t) = \theta_0 \exp(\lambda t)$$

e si ha stabilità o instabilità secondo che $\lambda < 0$ opp. $\lambda > 0$.

Notiamo che

$$\alpha_{\pm} = \frac{d\alpha}{dT} \Big|_{T_i} = \begin{cases} 0 & \text{se } i = 1, 3 \\ -\frac{\alpha_{\max} - \alpha_{\min}}{T_e - T_c} & , \quad i = 2 \quad (T_2 \in (T_c, T_e)) \end{cases}$$

Per $\alpha_{\max} \approx 0.9$, $\alpha_{\min} \approx 0.2$ e $T_e - T_c \approx 20 \text{ K}$ ($T_c \approx 263 \text{ K}$, $T_e \approx 283 \text{ K}$) si ha $\alpha_{\pm} \approx -3.5 \times 10^{-2}$. Quindi, posto

$$g_{\pm}(T_i) = 4g(T_i) T_i^3 + T_i^4 \left(\frac{dg}{dT} \right) \Big|_{T=T_i} ,$$

$$\lambda(T_i) = -\frac{\sigma g_{\pm}(T_i)}{c} < 0 \quad \text{per } i = 1, 3 \Leftrightarrow g_{\pm}(T_i) > 0$$

⑧

Poiché $\frac{dg}{dT} < 0$, $g_{\pm}(T_i) > 0$ se $4g(T_i) > -T_i^3 \left(\frac{dg}{dT} \right) \Big|_{T=T_i}$

In effetti, usando i valori attualmente stimati, $\frac{dg}{dT}$ è molto piccolo e quindi la condizione $g_{\pm}(T_i) > 0$ è da ritenersi genericamente soddisfatta.

Nel caso $T = T_2$ si ha

$$\lambda(T=T_2) = \frac{Q_0 * 3.5 * 10^{-2}}{c} - \epsilon \frac{g_{\pm}(T_2)}{c}$$

e quindi

$$\lambda(T=T_2) > 0 \Leftrightarrow Q_0 > \frac{\epsilon g_{\pm}(T_2)}{3.5} * 10^2$$

D'altra parte $Q_0 \approx 340 \frac{W}{m^2}$ e $\epsilon g_{\pm} \in (0, 1)$ per cui $\lambda(T=T_2) > 0!$

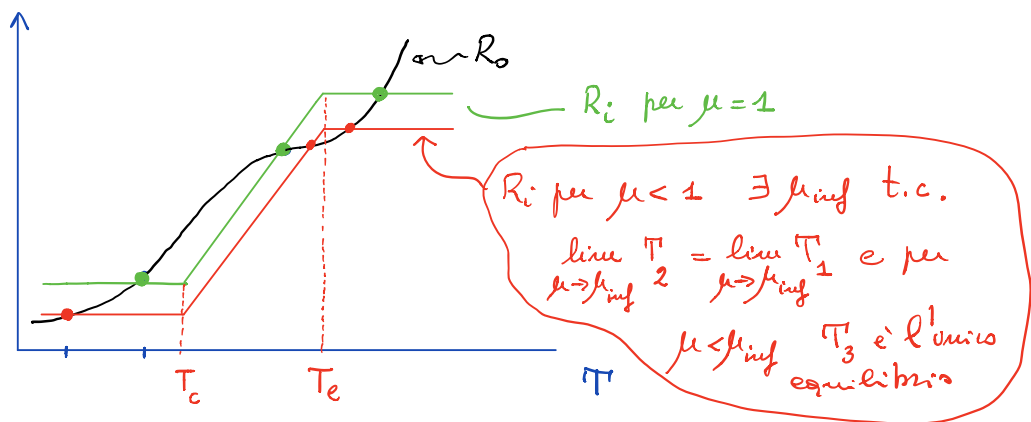
COSA SUCCEDERE SE SI VARIA DI POCO LA COSTANTE SOLARE Q_0 ?

Sulla scala dei miliardi di anni (cioè dell'età della Terra) Q_0 può variare se variano (come effettivamente sembra sia accaduto) gli elementi orbitali; questi sono 6 parametri che determinano in modo univoco l'orbita di ogni corpo celeste attorno ad un secondo corpo (in questo caso il SOLE).

I parametri sono i tre angoli di Eulero (nutazione, precessione e rotazione propria), il tempo di passaggio al perielio, la distanza al perielio e l'eccentricità dell'orbita.

È evidente che gli elementi orbitali nelle precedenti ere glaciali furono diversi dagli attuali.

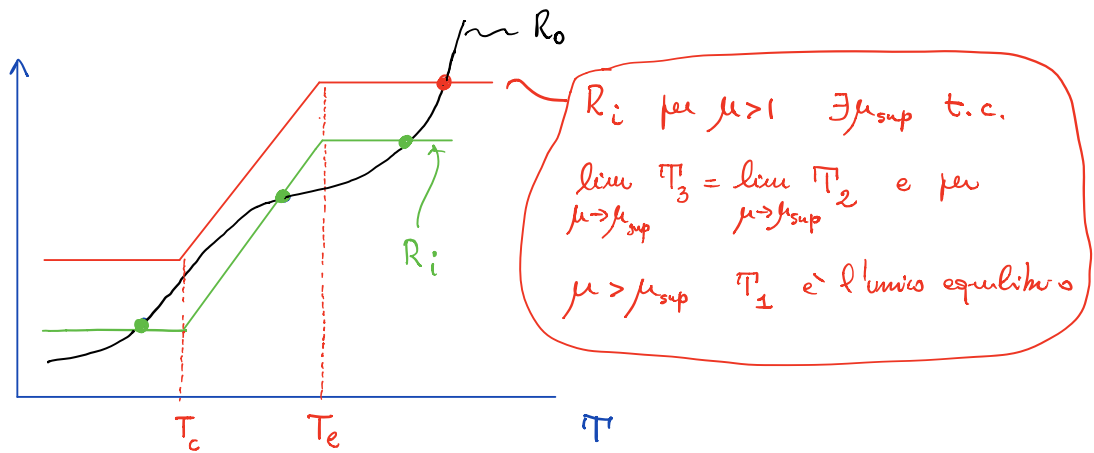
Il modo più semplice di introdurre questo effetto nel modello è quello di sostituire Q_0 con μQ_0 dove μ è un parametro positivo. Questa modifica non altera la forma del profilo di R_0 ma produce un suo abbassamento rigido (se $\mu < 1$) o un suo innalzamento (se $\mu > 1$)



Per $\mu < 1$ T_3 si è spostato a sinistra, T_2 si è spostato a destra e T_1 a sinistra. Per μ suff. minore di 1, T_3 esiste sempre ma T_2 e T_1 cessano di esistere.

Quindi, se T_2 rappresenta il clima attuale esiste un valore $\mu_{inf} < 1$ tale che se $\mu < \mu_{inf}$ il clima attuale diventa instabile ($T_2 = T_3$) e si ha una transizione di T verso T_3 (Terra totalmente coperta di ghiaccio), con T_3 che rimane stabile!

Vediamo ora le conseguenze di $\mu > 1$:



Per μ suff. grande, $\mu > \mu_{sup}$ gli equilibri T_3 e T_2 cessano di esistere e T_1 si sposta a destra (Terza suriscaldato) con T_1 che resta stabile.

Come si vede le variazioni di μ producono effetti poco piacevoli in ogni caso.

OSSERVAZIONE 1. Si noti come non proprio il meccanismo dell'ice-albedo feedback che determina l'instabilità di T_2 perché il feedback è POSITIVO: un piccolo aumento di T riduce la copertura glaciale riducendo così l'albedo aumentando di conseguenza la radiazione in arrivo con conseguente ulteriore aumento di T .

OSSERVAZIONE 2. Questo modello non lineare, semplice e 1-dimensionale, mostra l'esistenza di equilibri multipli ma non è in grado di predire "cicli" climatici (ere glaciali seguite da ere temperate). A tale scopo serve un

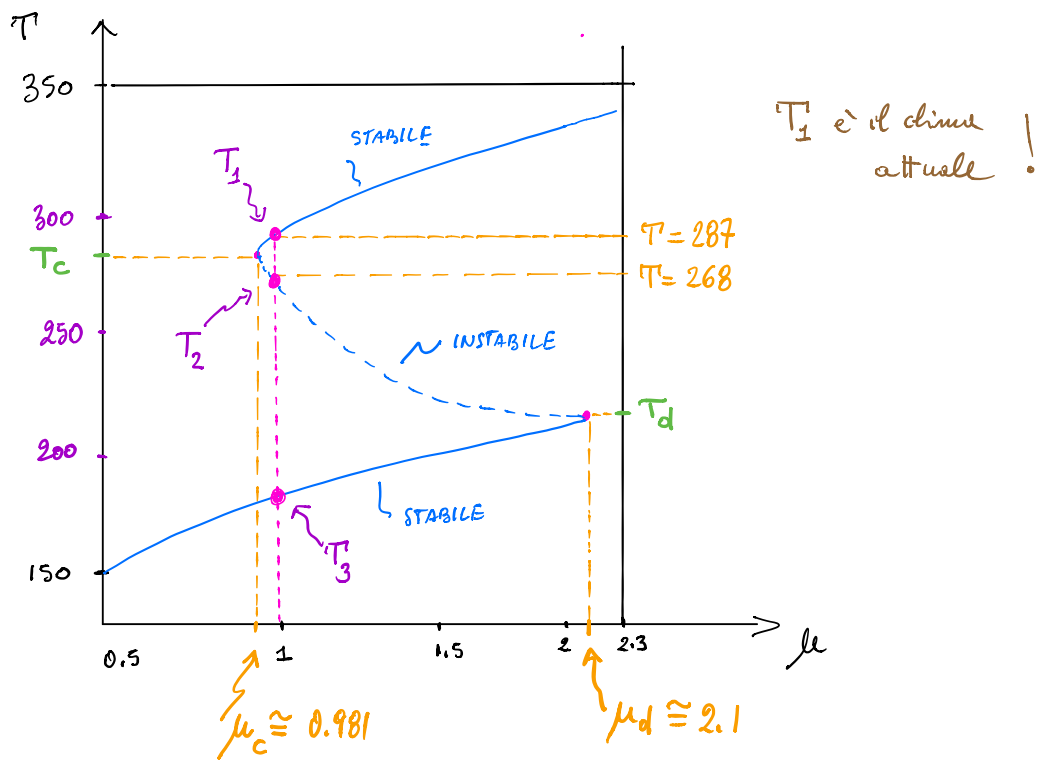
modello almeno 2-dimensionale

11

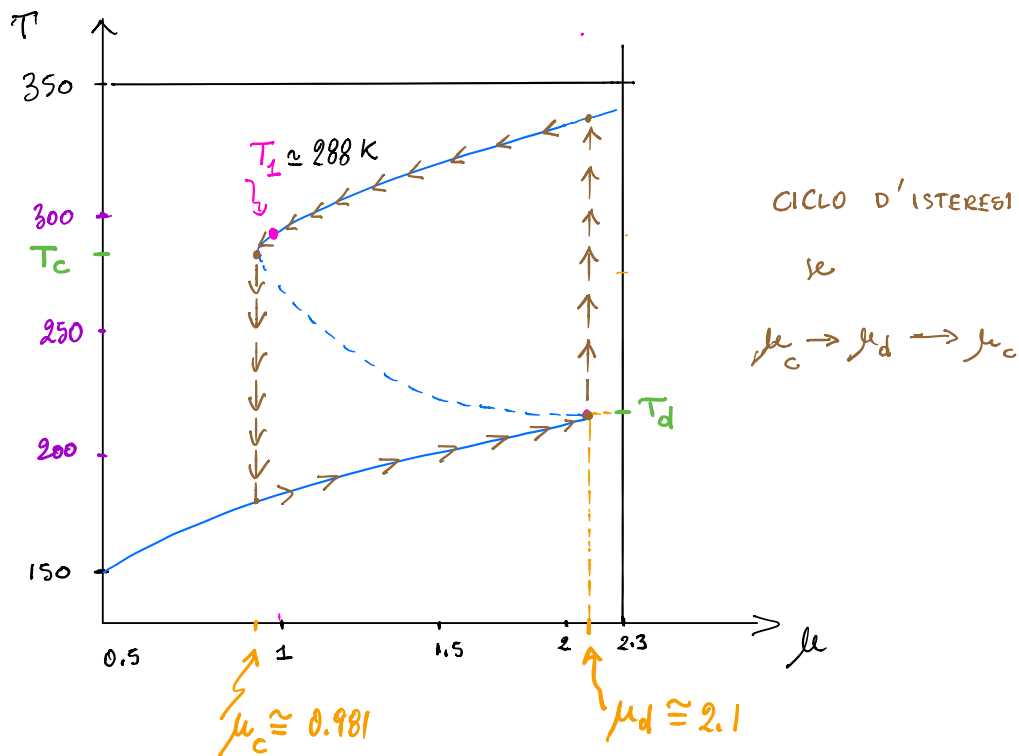
È evidente che μ è un parametro di biforcazione. Lo studio del luogo degli equilibri

$$E(\mu, T) = \mu Q_0 (1 - \alpha(T)) - \sigma g(T) T^4 = 0$$

può essere fatto solo numericamente. Usando valori disponibili in letteratura si può ottenere il seguente diagramma di biforcazione



Per $\mu=1$ ci sono TRE soluzioni. Si noti (μ_d, T_d) che è un punto di biforcazione, (μ_c, T_c) che è un punto di inversione. È evidente la possibilità di un ciclo di estesi.



È attualmente possibile ricostruire, attraverso la misurazione dei rapporti isotopici del deuterio in colonne di ghiaccio antartico, le variazioni di Q_0 negli ultimi 740.000 anni. L'analisi spettroscopica delle misure mostra chiaramente variazioni periodiche della Temperatura della Terra (almeno 6-7 glaciazioni nel Pleistocene con intervalli "freddi" variabili fra 10.000 e 100.000 anni).

È proprio la presenza nel modello della possibilità che si generi un ciclo di isteresi che forma la base per la teoria di Milankovitch sullo sviluppo delle glaciazioni (variazione periodica di Q_0 confermata dalle misure di CO_2 nelle carote di ghiaccio antartico).